

## บทที่ 2

### ทฤษฎี

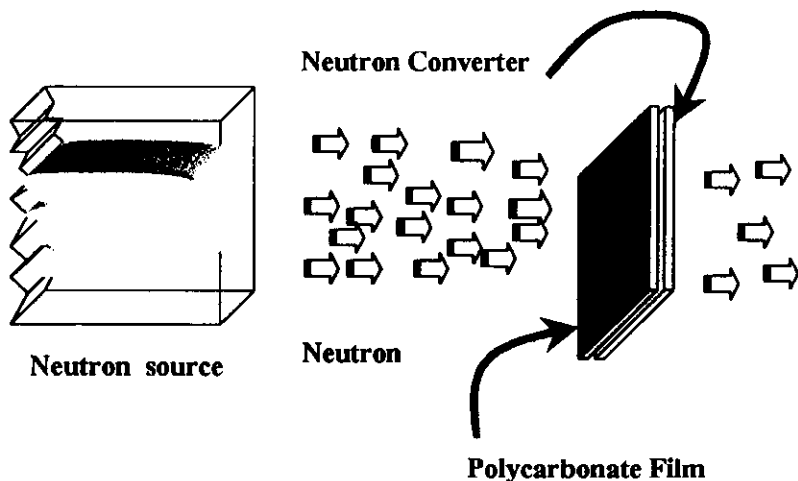
ในบทที่นี้จะนำเสนอเกี่ยวกับ ทฤษฎีต่างๆ ที่เกี่ยวข้องกับการทำให้เกิดรอยแฟรง และการ กัดรอยเพื่อให้ได้รูปrunun ตามขนาดที่ต้องการ รวมทั้งการทดสอบสมบัติของรูปrunun แผ่นเมมเบรนที่ผลิตขึ้น ดังนี้

#### 2.1 ทฤษฎีที่เกี่ยวกับการผลิตรูพrunun บนเมมเบรน

การผลิตเมมเบรนมี 2 ขั้นตอนที่สำคัญคือ การทำให้เกิดรอยบนฟิล์ม (Track Formation) และการกัดขยายรอย (Track Etching) เพื่อให้รอยแฟรงของอนุภาคบนฟิล์มปากกว้างขึ้นมา

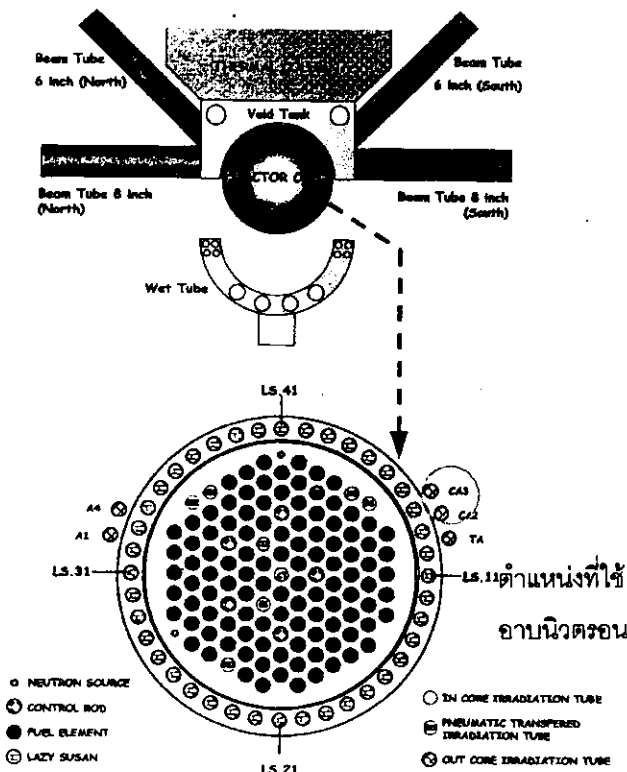
##### 2.1.1 การทำให้เกิดรอยบนแผ่นฟิล์ม

- ด้วยนิวตรอนร้อน โดยการนำจากเปลี่ยนนิวตรอนและแผ่นฟิล์มพอลิคาร์บอเนตไป อาบนิวตรอนโดยจัดวางอุปกรณ์ในการอาบนิวตรอนดังรูปที่ 2.1



รูปที่ 2.1 แสดงการจัดวางอุปกรณ์สำหรับอาบนิวตรอน thermal neutron

- ด้วยนิวตรอนร้อน โดยการนำแผ่นฟิล์มพอลิคาร์บอเนตไปอาบนิวตรอนในเครื่องปฏิกิริยานิวเคลียร์ โดยจัดวางอุปกรณ์ในการอาบนิวตรอนดังรูปที่ 2.2



รูปที่ 2.2 แสดงการจัดวางอุปกรณ์สำหรับงานนิวเคลียร์

## 2.2 นิวตรอน เมื่อจากต้องให้นิวตรอนเป็นตัวทำปฏิกิริยา จึงทำความรู้จักกับนิวตรอนก่อน

### 2.2.1 สมบัติของนิวตรอน

นิวตรอนเป็นอนุภาคไม่มีประจุ มีมวล  $1.008665$  หน่วยอะตอม หรือ  $1.6750 \times 10^{-24}$  กิโลกรัม นิวตรอนอิสระมีคึ่งชีวิต  $10.6$  นาที (ข้อมูล 2541) โดยสามารถดังสมการต่อไปนี้

$${}^1_0 n \rightarrow {}^1_1 p + {}^0_{-1} \beta + \nu^- + Q \quad (2.1)$$

นิวตรอนใช้สัญลักษณ์  ${}_0^1 n$  ค้นพบโดย เจนส์ ชาดวิก (James Chadwick) นักวิทยาศาสตร์ชาวอังกฤษ ในปีพ.ศ. 2475 เพื่อชี้明สมบัติของอนุภาคที่เกิดขึ้นจากการชนแgn เปอริลเลียม (Beryllium Foil) ด้วยอนุภาคแอลฟ่า ซึ่งต่อมาพบว่านิวตรอนเป็นอนุภาคมูลฐาน (Elementary

Particles) ชนิดนี้ รวมกับโปรตอนเป็นนิวเคลียสอยู่ที่ศูนย์กลางของอะตอม โดยมีอิเล็กตรอนอยู่ด้านนอก

### 2.2.2 ชนิดของนิวตรอน

นิวตรอนไม่สามารถเร่งให้มีพลังงานสูงขึ้นได้ เนื่องจากเป็นอนุภาคไม่มีประดุ แต่สามารถเลือกช่วงพลังงานในการใช้งานได้ ด้วยการลดพลังงานลงจากพลังงานตั้งต้น โดยให้รันกับอะตอมของวัสดุที่มีสัมประสิทธิ์การระเบิงต่อนิวตรอนสูง เรียกว่าการหน่วงนิวตรอน (Neutron Moderation) นิวตรอนแบ่งออกได้หลายชนิดตามระดับพลังงาน (รัช ชิตตระการ, 2541) ดังตารางที่ 2.1

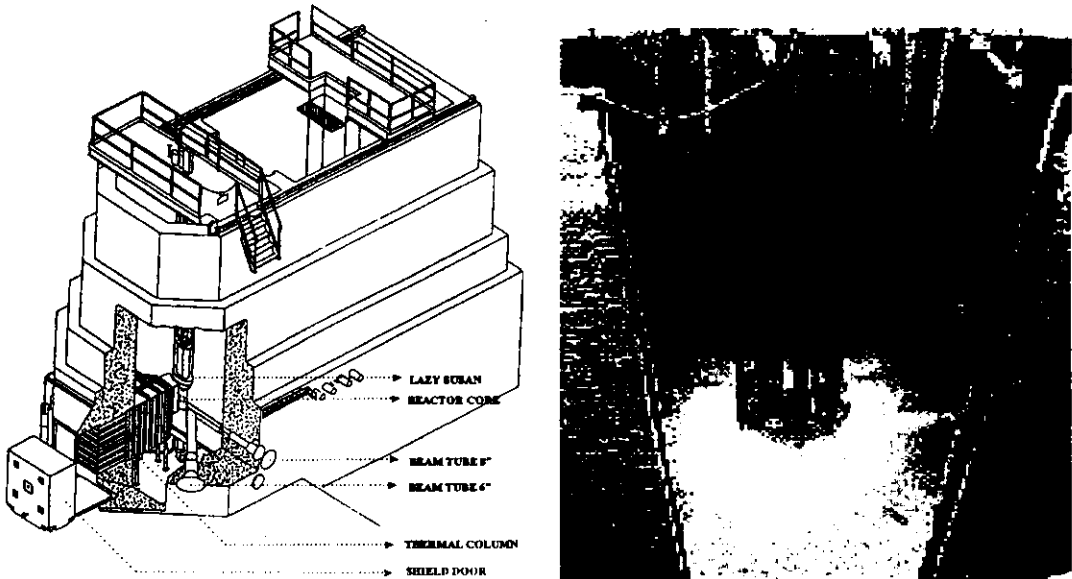
ตารางที่ 2.1 ชนิดและระดับพลังงานของนิวตรอน

| ชนิดของนิวตรอน       | ระดับพลังงาน    |
|----------------------|-----------------|
| Cold neutron         | <0.01 eV        |
| Thermal neutron      | 0.01 – 0.3 eV   |
| Epithermal neutron   | 0.3 eV – 10 keV |
| Fast neutron         | 10 keV – 20 MeV |
| Relativistic neutron | >20 MeV         |

### ต้นกำเนิดนิวตรอน

ต้นกำเนิดนิวตรอนแบ่งตามลักษณะและวิธีการปลดปล่อยนิวตรอน ออกได้เป็น 3 ประเภท ได้แก่

- เครื่องปฏิกรณ์นิวเคลียร์ (Nuclear Reactor) เป็นต้นกำเนิด ที่มีความเข้มของนิวตรอนสูงที่สุด นิวตรอนที่เกิดจากปฏิกิริยาการแตกตัว (Fission) ของ U-235 เครื่องปฏิกรณ์ปฐมภูมิจัย (Research Reactor) ส่วนใหญ่มีท่อนำนิวตรอน (Beam Port) จากแกนเครื่องปฏิกรณ์ (Reactor Core) ไปยังตำแหน่งที่ทำการทดลองโดยมีวัสดุหน่วงนิวตรอน (Moderator) ลดระดับพลังงานนิวตรอนให้เหมาะสมกับการทดลอง



รูปที่ 2.3 ตันกำเนิดนิวตรอนจากเครื่องปฏิกรณ์นิวเคลียร์  
สำนักงานพลังงานประมาณเพื่อสันติ กรุงเทพฯ

2. เครื่องเร่งอนุภาค (Accelerator) เป็นอุปกรณ์ที่ใช้สนามไฟฟ้าและสนามแม่เหล็กแรงสูงเร่งอนุภาคที่มีประจุบวกให้มีพลังงานสูงและควบคุมให้ชนกับวัสดุที่เป็นเป้า ให้ปลดปล่อยนิวตรอนออกมานอกจากปฏิกิริยานิวเคลียร์ เช่น  $^7\text{Li}(\text{p},\text{n})^7\text{Be}$

3. วัสดุกัมมันตรังสี (Radioactive sources) แบ่งตามกระบวนการการปลดปล่อยนิวตรอน

3.1 ตันกำเนิดนิวตรอนจากปฏิกิริยา ( $\alpha,\text{g}$ ) ประกอบด้วยไอโซโทปรังสีที่ปลดปล่อยอนุภาคและฟ้า เช่น เรเดียม ( $\text{Ra}$ ) หรือพลูโตเนียม ( $\text{Pu}$ ) ผสมกับเบอริเลียม ( $\text{Be}$ ) หรือ โบรอน ( $\text{B}$ ) แล้วผนึกเข้าด้วยกัน นิวตรอนที่ปล่อยออกมานา ก็จะจากปฏิกิริยา ( $\alpha,\text{g}$ ) ดังสมการ

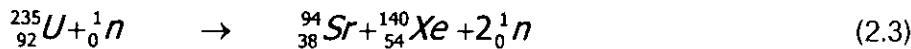


3.2 ตันกำเนิดจากปฏิกิริยา ( $\gamma,\text{g}$ ) ประกอบด้วยสารไอโซโทปรังสีที่ปลดปล่อยรังสีแกมมา เช่น พลวง-124 ( $^{124}\text{Sb}$ ) ผสมกับเบอริเลียม

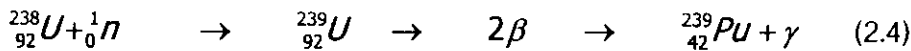
3.3 ต้นกำเนิดจากปฏิกิริยาการแตกตัว (Fission) ได้แก่ สารไอโซโทปรังสีที่มีการแตกตัวแล้วปลดปล่อยนิวตรอนอย่างต่อเนื่อง เช่น แคลลิฟอร์เนียม-252 ( $^{252}\text{Cf}$ )

### อันตรกิริยาของนิวตรอนกับสาร

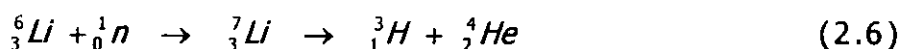
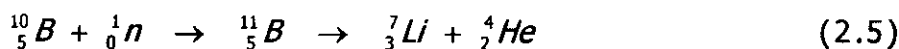
1. การชนแบบยึดหยุ่น (Elastic Collision) เช่น ( $n,n$ )
2. การชนแบบไม่ยึดหยุ่น (Inelastic Collision)
3. กระบวนการจับนิวตรอน (Neutron Capture)
  - ปล่อยรังสีแคมมา เช่น  $\text{H}^1(n,\gamma)\text{H}^2$
  - ปล่อยอนุภาคที่มีประจุ เช่น  $\text{O}^{16}(n,p)\text{N}^{16}$
4. ปฏิกิริยาให้นิวตรอน เช่น ( $n,2n$ ), ( $n,3n$ )
5. ปฏิกิริยาฟission (Fission Reaction) เช่น



6. ผลิตไอโซโทปที่ทำให้เกิดพิษร้าย (Fissionable isotope production) เช่น



2.3 ปฏิกิริยาที่เกิดขึ้นบนจากเปลี่ยนนิวตรอน(Converter Screen)เมื่อใช้นิวตรอนเข้า  
เนื่องจากนิวตรอนร้า ไม่สามารถทำให้เกิดรายบัณผ์พิล์มพอลิคาร์บอนตได้ ดังนั้นจึง<sup>จะ</sup>  
อาศัยนิวตรอนร้า ดังกล่าว ผลิตอนุภาคที่มีประจุ เช่น อนุภาคแอลฟ่า ด้วยการระดมยิงไปที่  
ไอโซโทป  $^{10}_5\text{B}$  จากปฏิกิริยา



2.4 ปฏิกิริยาที่เกิดขึ้นบนแผ่นพิล์มพอลิคาร์บอนตเมื่อใช้นิวตรอนเข้า

Recoil Protons จากปฏิกิริยา การชนแบบยึดหยุ่น (Elastic Scattering) กับ นิวเคลียสของ Hydrogen ดังปฏิกิริยา ( $n,n'$ )

## 2.5 การเกิดรอยบนแผ่นฟิล์ม

ขณะที่ทำการขานนิวตรอนเข้า นิวตรอนจะทำปฏิกิริยา ( $\gamma$ ,  $\alpha$ ) กับจากเปลี่ยนนิวตรอนแล้วปลดปล่อยอนุภาคแอลฟ่าไปทำให้เกิดการแตกตัว (Ionization) ในเนื้อฟิล์มเป็นรอยแฟง (Latent Track) ขนาด 2-6 นาโนเมตร ( $nm$ ) ซึ่งสามารถสังเกตได้โดยใช้กล้องจุลทรรศน์อิเล็กtron ดังรูปที่ 2.4



รูปที่ 2.4 ภาพถ่ายของรอยแฟงจากกล้องจุลทรรศน์อิเล็กtron

ที่มา : Freisher, R. L. และคณะ. (1975 : 6)

การเกิดรอยอนุภาค มีการกล่าวไว้หลายลักษณะ แต่ที่เชื่อถือได้มีอยู่ 2 ทฤษฎี คือ

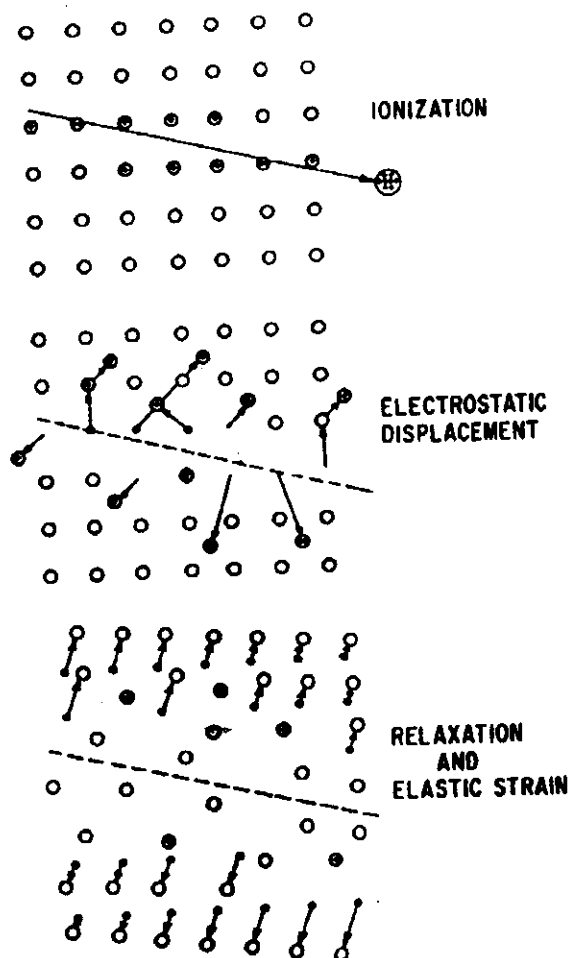
### 1. ทฤษฎีเทอร์มัลสไปค์ (Thermal Spike)

กล่าวไว้ว่า "เมื่อนุภาคมีประจุวิ่งผ่านวัสดุใดๆ จะเกิดการแตกตัวและการกระตุ้น (Ionization and Excitation) อย่างรุนแรง ตามแนวทางที่อนุภาควิ่งผ่าน ทำให้เกิดความร้อน และอุณหภูมิสูงขึ้นอย่างรวดเร็ว แต่ถ้าวัตถุนั้นเป็นตัวนำความร้อนที่ดี จะสามารถกระจายความร้อนไปสู่บริเวณรอบๆ ทำให้อุณหภูมิที่จุดนั้นสูงไม่มากนัก แต่ถ้าวัตถุนั้นเป็นตัวนำความร้อนที่เลว ก็จะไม่สามารถแผ่กระจายความร้อนไปสู่พื้นที่รอบๆ ได้ ทำให้จุดนั้นร้อนจัด เกิดความเครียดขึ้น และเกิดการขยายตัวมากกว่าพื้นที่รอบๆ โครงสร้างที่จุดนั้นถูกทำลายไป เกิดรอยเสียหายในบริเวณดังกล่าวขึ้นมาแทน"

## 2. ทฤษฎีไอโอนเอกซ์เพลชันสปายค์ (Ion Explosion Spike)

กล่าวไว้ว่า “เมื่อนูภาคมีประจุวิ่งผ่านรัศมีได้ อะตอมจะเกิดการสั่นสะเทือนถ้าอะตอมเหล่านี้ได้รับพลังงานมากพอ จะทำให้อิเล็กตรอนหลุดออกจากโครงสร้าง เกิดประจุบวกขึ้นรอบๆ แนวทางที่อนุภาคเคลื่อนที่ผ่าน และเกิดการผลักกัน ทำให้อะตอมเหล่านี้ไปเมียดกับอะตอมที่อยู่ติดไป เกิดความเครียดแผ่นกระจาดออกไป ทำให้เกิดซ่องว่างขึ้นหลังจากที่ไม่เลกูลได้จัดเรียงตัวจนเกิดสมดุลแล้ว” ดังรูปที่ 2.5

การเกิดซ่องว่างหรือรอยของอนุภาคนี้ มองเห็นได้ด้วยกล้องจุลทรรศน์อิเล็กตรอน จะเกิดได้กับวัสดุที่เป็นชนิดความร้อน เช่น แก้ว ไมกา พลาสติก แต่หากเป็นวัสดุตัวนำความร้อนที่ดี เช่น โลหะ อะตอมที่เป็นไอโอนบวก จะจับกับอิเล็กตรอนบริเวณรอบๆ แล้วกล้ายสภาพเป็นกลวง กลับเข้าสู่สภาพเดิม จึงไม่เกิดซ่องว่างขึ้น



รูปที่ 2.5 การเกิดรอยอนุภาคตามทฤษฎีไอโอนเอกซ์เพลชันสปายค์

ที่มา : Freisher, R. L. และคณะ. (1975 : 32)

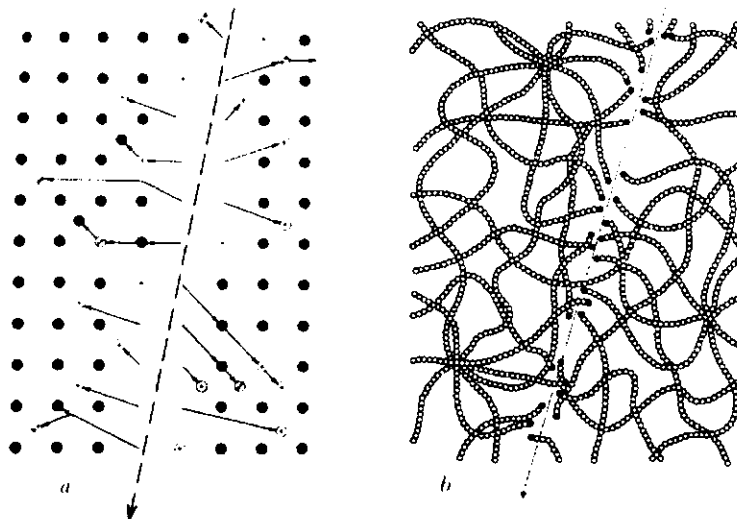
จากรูปที่ 2.5 แสดงให้เห็นขั้นตอนการเกิดร้อยอนุภาค คือ

ขั้นที่ 1 เกิดไอออนในเซ็นทรัลจากอนุภาคมีประจุบวกฝ่าน

ขั้นที่ 2 อะตอมที่อยู่ดีไปถูกชนและถูกแทนที่

ขั้นที่ 3 เกิดความเครียดแห่งภาระจากวังอกไป

ร้อยอนุภาคที่เกิดมักเป็นร้อยแคบๆ (ขนาดไม่เกิน 50 ยังสตรอม) มีความคงสภาพ ในการเกิดร้อยอนุภาคสามารถแยกได้เป็นวัตถุอินทรีซ์ ได้แก่ พอลิเมอร์ (Polymer) กับวัตถุอินทรีซ์ ได้แก่ พลีกและแก้ว เป็นต้น ดังรูปที่ 2.6



รูปที่ 2.6 การเกิดร้อยนันแผ่นพิسم a) พลีก b) พลาสติก ที่มา : Fleisher, และคณะ. (1975 : 4)

## 2.6 อนุภาคแอลฟ่าและโปรตอน

โดยปกติแล้วอนุภาคแอลฟ่าและโปรตอนจะทำให้ก้าวแตกตัวเมื่อมันวิ่งผ่าน และจะสูญเสียพลังงานและความเร็ว เมื่อความเร็วของอนุภาคลดลงมา จะดูดจับอิเล็กตรอนไว้ แล้วกลายสภาพเป็นอะตอมที่เป็นกลาง

### 2.6.1 กลไกการสูญเสียพลังงาน

อนุภาคที่มีประจุเมื่อเคลื่อนที่เข้าไปในสสารจะมีการสูญเสียพลังงานดังนี้

- เกิดอันตราริยาคูลombs (Coulomb Interaction) กับอิเล็กตรอนและนิวเคลียส (โดยขันตราริยา กับอิเล็กตรอนจะมีความสำคัญมากกว่าขันตราริยา กับนิวเคลียส) ซึ่งเป็นสมการได้ดังนี้

$$F = \frac{kZe^2}{r} \quad (2.7)$$

โดยที่  $Ze$  เป็นประจุของอนุภาค

ผลกระทบแรงคูโอมบ์ที่เกิดขึ้นอาจทำให้อิเล็กตรอนอยู่ในสถานะกระตัน หรือเกิดการแตกตัวเป็นไอโอน (ionization) ทั้งนี้ขึ้นกับพลังงานของอนุภาคที่วิ่งเข้ามา

2. ปลดปล่อยรังสีเบรนสตราลุง (Bremsstrahlung) เมื่ออนุภาคที่มีประจุ เคลื่อนที่เข้าใกล้อะตอมจะมีการเปลี่ยนแปลงความเร็ว (พลังงานเปลี่ยนแปลงลดลง) พลังงานที่ลดลงนี้จะเปลี่ยนไปเป็นคลื่นแม่เหล็กไฟฟ้า เรียกว่า เบรนสตราลุง (Bremsstrahlung) หรือรังสีเอกซ์เพลิงงานต่อเนื่อง (Continuous X-ray) การสูญเสียพลังงานในการเกิดเบรนสตราลุง จะเกิดขึ้นกับอนุภาคที่มีมวลน้อย (อิเล็กตรอน) เป็นส่วนใหญ่ และในตัวกลางที่มีมวลมาก

3. เกิดการสั่นสะเทือนของโมเลกุลในขณะที่อนุภาคเคลื่อนที่ผ่าน

4. เกิดการแตกลายของโซโนเมเลกุล (break a molecular chain)

5. ปล่อยรังสีเซอเรนคอฟ (Cerenkov Radiation)

### 2.6.2 กำลังหยุดยั้งและพิสัย (Stopping Power and Range)

เมื่ออนุภาคเคลื่อนที่เข้าไปในตัวกลางจะเกิดขั้นตอนวิธีกับอิเล็กตรอนของตัวกลาง และอนุภาคจะสูญเสียพลังงาน การคิดอัตราการสูญเสียพลังงานจะคิดในรูปอัตราการสูญเสียพลังงานโดยเฉลี่ยต่อระยะทางที่อนุภาคเคลื่อนที่ เรียกว่า “กำลังหยุดยั้ง” (Stopping Power) โดยสามารถคำนวณได้จากสมการ

$$\frac{dE}{dx} (\text{MeV/m}) = 4\pi r_0^2 Z^2 \frac{mc^2}{\beta^2} NZ \left[ \ln\left(\frac{2mc^2}{I}\beta^2\right) - \ln(1-\beta^2) - \beta^2 \right] \quad (2.8)$$

เมื่อ  $r_0$  คือมวลนิ่งของอนุภาค

$\beta$  คือ  $v/c$

$N$  คือความหนาแน่นอะตอมของตัวกลาง หน่วย อะตอมต่อลูกบาศก์เมตร

$Z$  คือเลขอะตอมของตัวกลาง

$z$  คือ ขนาดประจุของอนุภาค

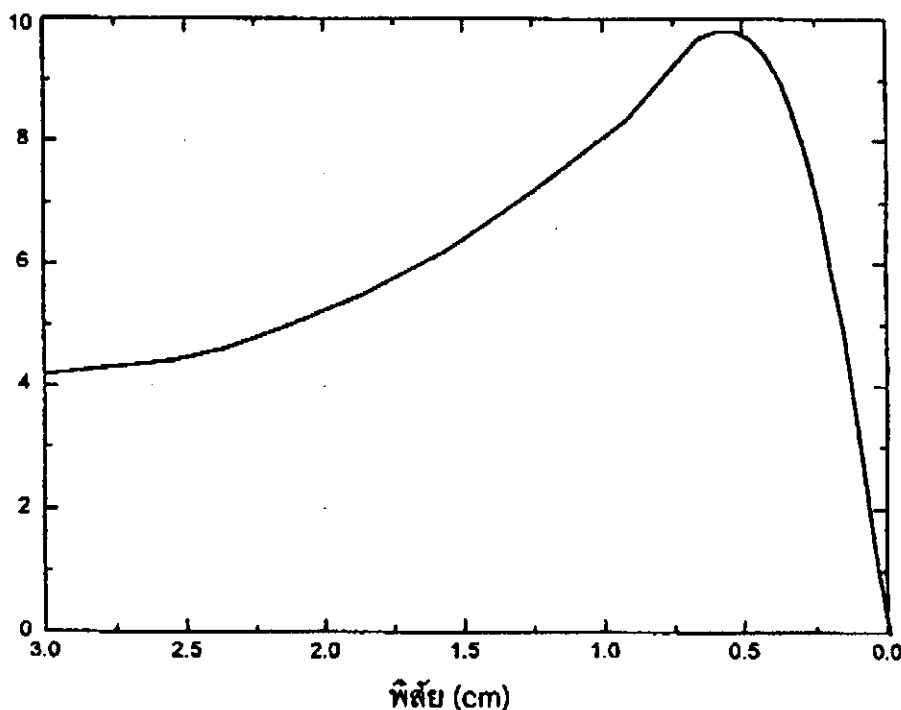
$I$  คือ พลังงานศักย์กระตันเฉลี่ย (Mean Excitation Potential) ของตัวกลาง หน่วย MeV

ค่าพลังงานกระตันเฉลี่ยสามารถคำนวณหาจากสูตร

$$I(eV) = (9.76 + 58.8Z^{-1.19})Z \quad (2.9)$$

อัตราการการสูญเสียพลังงานต่อหน่วยระยะทางจะเพิ่มขึ้นเมื่อมีความเร็วลดลง ดังนั้นความหนาแน่นของการแตกตัวเป็นไอออน (Density of Ionization) ในช่วงท้ายๆ ของการเคลื่อนที่จะมีค่าสูง และเมื่อมีอนุภาคมีความเร็วลดลงจนใกล้จะหยุดอนุภาคจะรวมตัวกับอิเล็กตรอนในตัวกลางภายเป็นอะตอมที่เป็นกลางทำให้ประจุของอนุภาคลดลงค่าอัตราสูญเสียพลังงานต่อระยะทางก็จะลดลงด้วย สามารถแสดงได้ด้วยกราฟของ แบร็ก (Bragg Curve)

### การแยกตัวเป็นไอออน



รูปที่ 2.7 แสดงการเกิดไอออนกับระยะทางที่อนุภาคเคลื่อนที่ในตัวกลาง

ที่มา : พงศกร สุวรรณเดชา (2540 : 110)

สำหรับตัวกลางที่เป็นของผสม กำลังหยุดยั้งสำหรับตัวกลางที่เป็นสารประกอบหรือของผสมสามารถคำนวณได้จากสมการ

$$\rho \left( \frac{dE}{dk} \right)_{comp} = \sum_i w_i \frac{1}{\rho_i} \left( \frac{dE}{dk} \right)_i \quad (2.10)$$

เมื่อ  $\rho$  คือ ความหนาแน่นของสารประกอบหรือของผสม

$\rho_i$  คือ ความหนาแน่นของธาตุที่  $i$

$\frac{1}{\rho_i} \left( \frac{dE}{dk} \right)_i$  คือ กำลังหยุดยั้งในหน่วย  $\text{MeV/kg/m}^2$  สำหรับธาตุที่  $i$

อนุภาคที่มีประจุเมื่อเคลื่อนที่ผ่านเข้าไปในสารจะสูญเสียพลังงานเนื่องจากการเกิดขั้นตราไว้กับอิเล็กตรอนหรือนิวเคลียลักษณะของสาร ผลที่สุดอนุภาคจะหยุดนิ่งและรวมตัวกับอิเล็กตรอนอิสระในสารกล้ายเป็นอะตอมที่เป็นกลาง เร่น

โปรตอน + อิเล็กตรอน  $\longrightarrow$  อะตอมของไฮโดรเจน

แอลฟ่า + อิเล็กตรอนสองตัว  $\longrightarrow$  อะตอมของไฮเดียม

ความหนาของสารที่สามารถหยุดการเคลื่อนที่ของอนุภาคได้พอดีเรียกว่า “พิสัย” (Range)  $R$  มีหน่วยเป็นระยะทาง หน่วยที่นิยมใช้คือ  $\text{kg}/\text{m}^2$

ความหนาของตัวกลางที่ทำให้จำนวนอนุภาคที่ทะลุผ่านตัวกลางเหลือครึ่งหนึ่งของอนุภาคทั้งหมดเรียกว่า “พิสัยเฉลี่ย” (Mean Range) ส่วนความหนาของตัวกลางที่ทำให้ไม่มีอนุภาคใดๆ สามารถทะลุผ่านมาได้เลย เรียกว่า “พิสัยประมาณ” (Extrapolated,  $R_0$ ) ค่าที่นิยมใช้คือค่า พิสัยเฉลี่ย ซึ่งมักจะเรียกว่า “พิสัย”

พิสัยของอนุภาคแอลฟ่าในตัวกลางได้สามารถหาได้จาก

$$R(\text{mm}) = 3.2 \times 10^{-1} \frac{\sqrt{A_{\text{eff}}}}{\rho(\text{kg}/\text{m}^3)} R_{\text{air}} (\text{mm}) \quad (2.11)$$

$$\sqrt{A_{\text{eff}}} = \left( \sum_{i=1}^L \frac{W_i}{\sqrt{A_i}} \right)^{-1} \quad (2.12)$$

$$\begin{aligned} R_{\text{air}} (\text{mm}) &= \exp[1.61 \sqrt{E_k (\text{MeV})}] (1 < E_k \leq 4 \text{ MeV}) \\ &= (0.05 E_k + 2.85) E_k^{3/2} \quad (4 \leq E_k \leq 15 \text{ MeV}) \end{aligned} \quad (2.13)$$

พิสัยของอนุภาคโปรตอนในตัวกลางได้สามารถหาได้จาก

$$R_p = 4 \frac{M_p}{M_\alpha} R_a - 2 (\text{mm, air}) \quad (2.14)$$

เมื่อ  $R_p$  เป็นพิสัยในอากาศของแอลฟ่าที่มีอัตราเร็วเท่ากับอัตราเร็วของโปรตอน

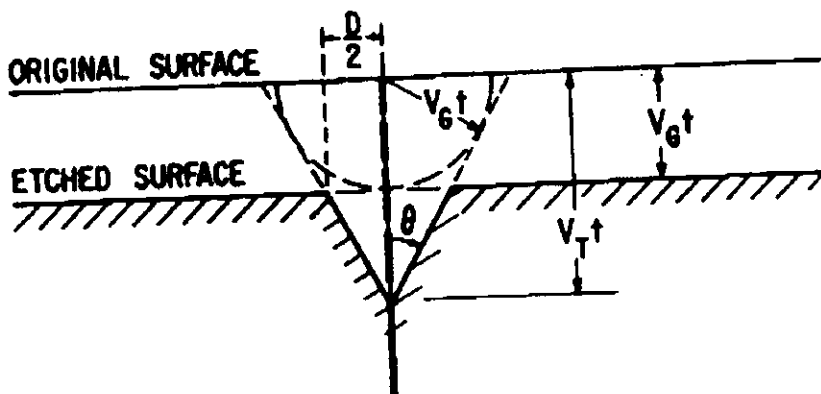
$M$  เป็นมวลของอนุภาคโปรตอน

$M_\alpha$  เป็นมวลของอนุภาคแอลฟ่า

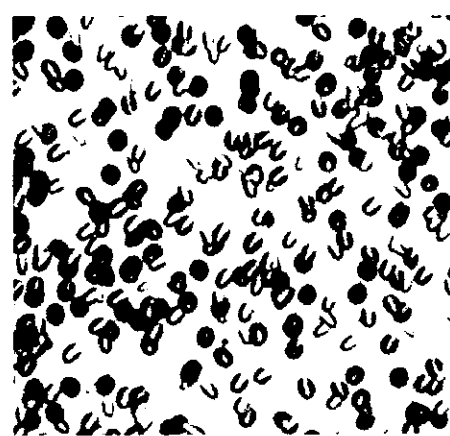
## 2.7 การกัดขยายรอย

พิล์มที่ถ่ายภาพแล้วเมื่อสั่งกัดรอยในสารละลายด่าง เช่น สารละลายไฮดรอกซิไนโตรเจน (KOH) หรือ สารละลายโซเดียมไฮดรอกไซด์ (NaOH) จะละลายของเนื้อพิล์มออกทั้งในแนวราบและแนวลึก จะทำให้รอยแฝงมีขนาดใหญ่ขึ้น จนทำให้รอยแฝงปรากฏขึ้นมา

ขณะที่ทำการกัดรอย ทุกส่วนของพิล์มนี้จะถูกละลายออกตามต่อเนื่อง โดยรอยแฝงของอนุภาคมีอัตราการละลายเร็วกว่าบริเวณอื่นจากกฎที่ 6 ให้อัตราการละลายของพิล์มนี้ทิศทางของรอยอนุภาคเป็น  $V_T$  (Track Etch Rate) และอัตราการละลายของพิล์มนี้บริเวณอื่นเป็น  $V_G$  (General Surface Etch Rate) กฎร่วงของรอยที่เกิดขึ้นภายหลังการสั่งกัดรอยขึ้นกับอัตราส่วนของ  $V_T/V_G$  จะมีค่าต่ำสุดเท่ากับ 1 เมื่ออัตราการละลายทุกทิศทางมีค่าเท่ากันแสดงว่าไม่เกิดรอยของอนุภาค



รูปที่ 2.8 ผิวพิล์มที่ละลายออกในกระบวนการการสั่งกัดรอย ที่มา : Fleisher, และคณะ. (1975:58)



รูปที่ 2.9 ภาพขยายจากกล้องจุลทรรศน์แสดงรอยอนุภาคที่ผ่านการกัดขยายรอยแล้ว  
ที่มา : Fleisher, และคณะ. (1975 : 5)

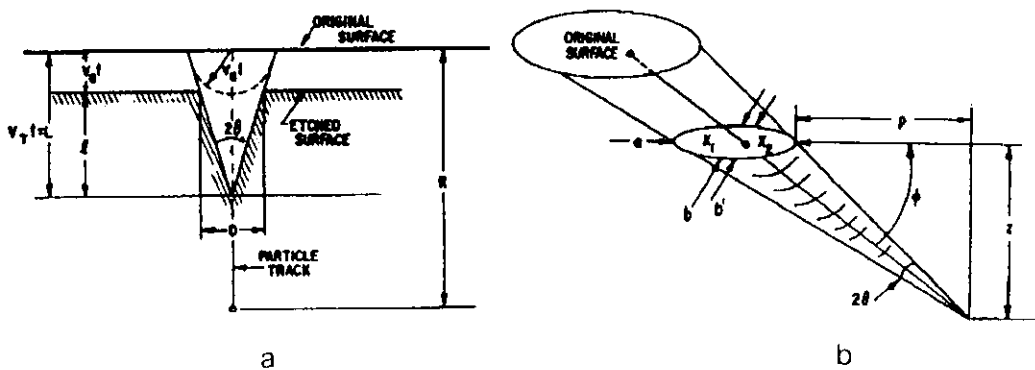
## 2.7.1 รูปทรงทางเรขาคณิตของรอยอนุภาค (track Geometry)

### 2.7.1.1 รูปทรงของรอยอนุภาคที่ $V_T$ คงที่

ในการกัดขยายรอยนั้น จะมีปฏิกิริยาเกิดขึ้น 2 ขั้นตอน ที่ทำให้รอยอนุภาคขยายใหญ่ขึ้น คือ

ก. ความเร็วในการกัดขยายรอยอนุภาค ด้วยสารละลายเคมีตามแนวอนุภาค ( $V_T$ )

ข. ความเร็วในการกัดขยายรอยอนุภาค ด้วยสารละลายเคมีบันพื้นผิวทั่วไปและบันพื้นผิวภายในของรอยอนุภาคอีกเล็กน้อย ( $V_G$ )



รูปที่ 2.10 รูปทรงของรอยอนุภาคที่ความเร็ว  $V_T$  และ  $V_G$  คงที่ a. อนุภาคทำมุมแนวตั้ง b. อนุภาคทำมุม φ  
ที่มา : Fleisher, R. L. และคณะ. (1975 : 51)

จากรูปที่ 2.10 แสดงการเกิดรอยอนุภาครูปทรงกรวย ซึ่งมีรอยอนุภาคเดิมตามแกนเส้นประสมมติให้

$V_T$  เป็นค่าคงที่ตามแนวรอยที่เกิด

$V_G$  เป็นค่าคงที่ไอโซทรอปิก (Isotropic)

$V_T / V_G$  มีค่าคงที่ และประมาณว่าที่ระยะเวลา กัดรอยสั้นๆ เป็นจริง มีระยะเท่ากับ  $V_T t$  ( $t$  เป็นเวลาในการกัดขยายรอย)

I เป็นความยาวของรอยอนุภาค

D เป็นเส้นผ่านศูนย์กลางของรอยอนุภาค

ในรูป 2.10 a. เวลาที่ใช้กัดขยายรอยเดียวกัน ผลที่เกิดจากค่าของ  $V_T$  และ  $V_G$  สามารถเขียนในเทอมของพารามิเตอร์ (Parameter) กัดขยายรอยได้ดังนี้

$$I = (V_t - V_g)t \quad (2.15)$$

$$D = 2V_g t \sqrt{(V_t - V_g)/(V_t + V_g)} \quad (2.16)$$

ถ้าเขียนในรูปปริมาณการวัด จะได้

$$V_t / V_g = 2\sqrt{(D/2)^2 + I^2} / D = \csc \theta \quad (2.17)$$

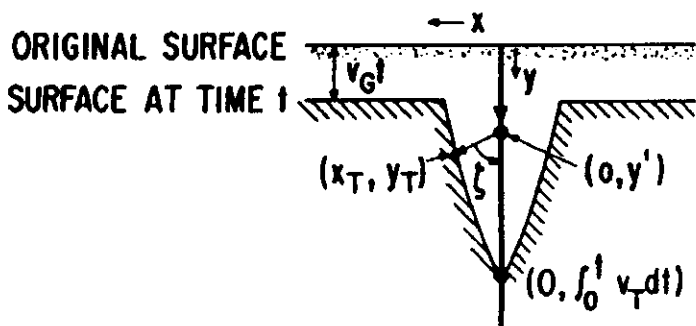
$$\begin{aligned} V_g t &= (D/2)[D/2I + \sqrt{(D/2)^2 + I^2}/I] \\ &= (D/2)(\tan \theta + \sec \theta)/2 \end{aligned} \quad (2.18)$$

$$\begin{aligned} V_t t &= \sqrt{(D/2)^2 + I^2} \cdot [D/2I + \sqrt{(D/2)^2 + I^2}/I] \\ &= D \csc \theta (\tan \theta + \sec \theta)/2 \end{aligned} \quad (2.19)$$

และจากรูป 2.10 b. แสดงรอยอนุภาคที่มีรูปไข่ รอยอนุภาคมีลักษณะเป็นรูปไข่ (Ellipse) มุมกรวยของรอยอนุภาคเป็น  $\theta$

### 2.7.2 รูปทรงของรอยอนุภาคที่ $V_t$ ไม่คงที่

เมื่อ  $V_t$  ไม่คงที่ มีการเพิ่มขึ้นหรือลดลงตามความยาวอนุภาค ย่อมทำให้เกิดความขับขันในรอยของอนุภาคที่ถูกกัดขยาย ซึ่งวัสดุส่วนมากไม่กว่าจะเป็นพลาสติก แก้วหรือผลึก ค่า  $V_t$  จะเพิ่มขึ้นตามอัตราการแตกตัว



รูปที่ 2.11 รูปทรงรอยอนุภาคที่เกิดเมื่อค่า  $V_t$  เพิ่มขึ้น (รอยอนุภาคโถงออกมากขึ้น)

ที่มา : Fleisher, และคณะ. (1975 : 53)

จากรูปที่ 2.11 พบร่วม

$V_t(y)$  เป็นความเร็วในการกัดขยายรอยอนุภาค ซึ่งมีค่าที่ตามแนวแกน  $y$

$(X_t, Y_t)$  เป็นรูปด้านข้างของรอยอนุภาค ที่เกิดจากระยะเวลาการกัดขยายรอยในการหาค่า  $L$  คำนวณได้จาก

$$t = \int_0^L dy / V_T(y) \quad (2.20)$$

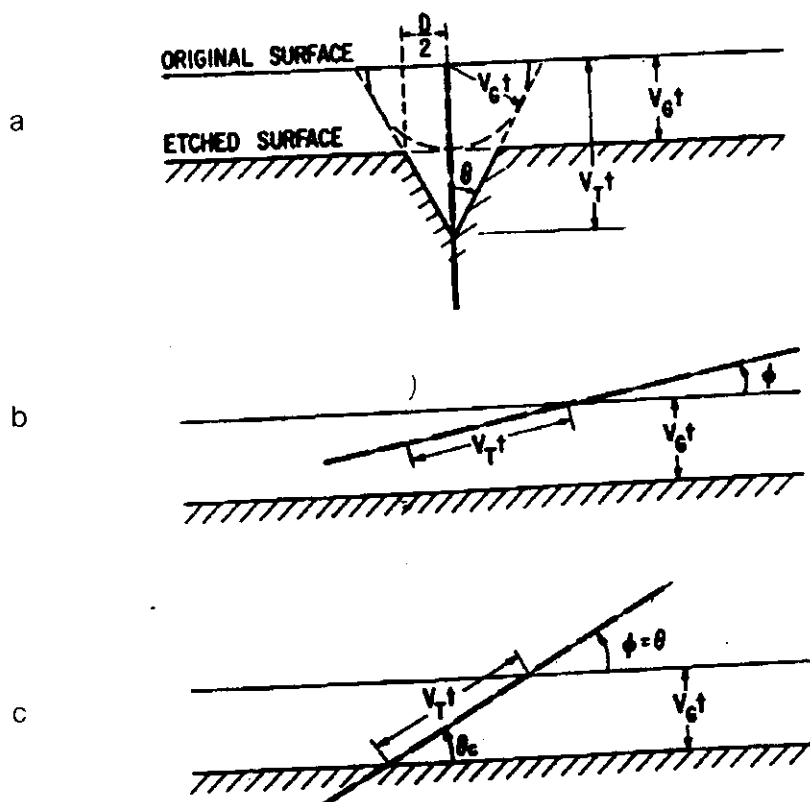
และเวลาที่ใช้กัดขยายรอยจนถึงจุด  $(X_t, Y_t)$  คือ

$$t = \int_0^{Y_t} dy / V_T(y) + [(y_t - Y')^2 + x_t^2]^{1/2} / V_G \quad (2.21)$$

### 2.7.3 ประสิทธิภาพการกัดขยายรอย (Etching Efficiency)

ประสิทธิภาพการกัดขยายรอยสมมติให้เป็น  $n$  ร่อง

$$n = \frac{\text{ความหนาของผิววัสดุก่อนกัดขยาย}}{\text{ความหนาของผิววัสดุหลังกัดขยาย}}$$



รูปที่ 2.12 รูปร่างของรอยอนุภาคที่ถูกกัดขยายรอยในลักษณะต่างๆ

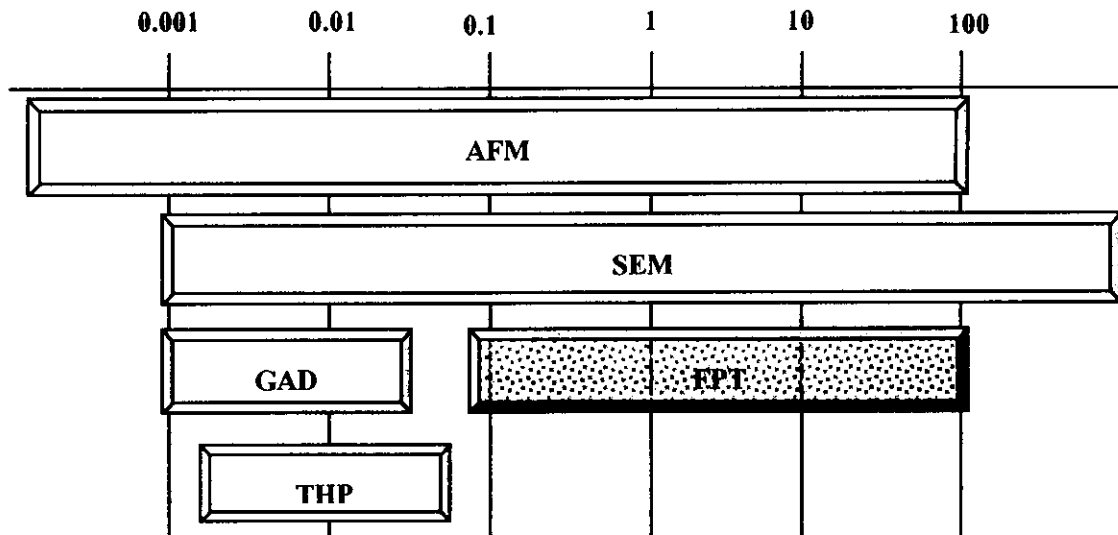
ที่มา : Fleisher, R. L. และคณะ. (1975 : 58)

- จากกฎที่ 2.12 a. แสดงให้เห็นว่ามุม  $\theta$  ขึ้นกับค่า  $V_T$  และ  $V_G$
- b. พื้นผิวที่ถูกกัดข่ายโดยตามแนวอนุภาค ( $V_T \sin \phi$ ) น้อยกว่า  $V_G$  (การกัดข่ายโดยพื้นผิวทั่วไป) นั่นคือ เมื่อ  $V_T$  น้อยกว่า  $V_G$  จะไม่เกิดรอยอนุภาค
- c. แสดงให้เห็นว่าเมื่อ  $\phi = \theta$  รอยอนุภาคจะเริ่มถูกกัดหายไป

## 2.8 การหาขนาดใหญ่ที่สุดของรูบนมเมมเบรน ด้วยเทคนิคฟองอากาศ

ปัจจุบันมีหลายวิธีด้วยกันที่ใช้หาขนาดและการกระจายของรูพูนบนแผ่นเมมเบรน ซึ่งได้แสดงไว้ในกฎที่ 2.13 แต่ที่เลือกใช้เทคนิคการแทรกที่ด้วยของเหลว (Fluid Penetration Techniques) เนื่องจากเป็นวิธีที่ไม่ซับซ้อนและใช้ต้นทุนในการทดลองต่ำ

**Pore Size (  $\mu\text{m}$  )**



AFM = Atomic Force Microscopy ,SEM = Scanning Electron Microscopy .

GAD = Gas adsorption – Desorption ,FPT = Fluid Penetration Technique ,

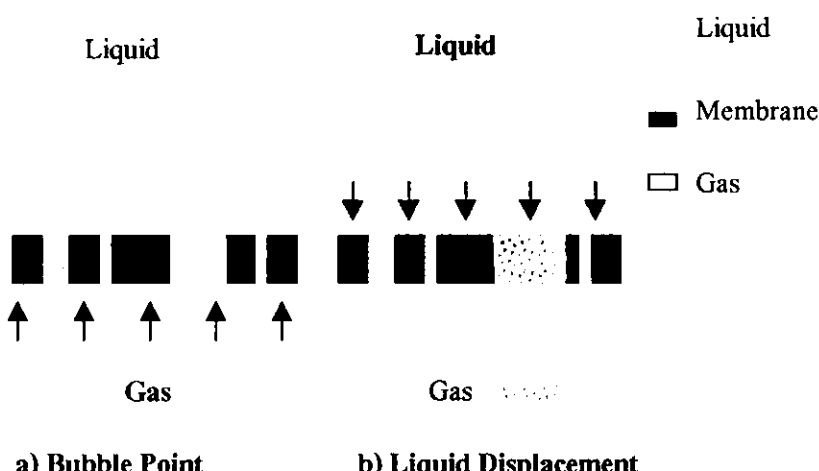
THP = Thermoporometry

กฎที่ 2.13 แสดงวิธีการต่างๆ ที่ใช้สำหรับหาขนาดการกระจายของรูบนมเมมเบรน

## Fluid Penetration Techniques ประกอบด้วย 2 เทคนิคหลัก คือ

- Gas – Liquid Interface (ผิวสัมผัสระหว่าง ก๊าซกับของเหลว) ประกอบด้วย 2 เทคนิคหลัก ( ดังรูปที่ 2.14 ) คือ

- Bubble Point Method: ให้ความตันก๊าซเข้าไปแทนที่ของเหลวที่อยู่ในรูของเมมเบรน
- Liquid Displacement method: ให้ความตันของเหลวเข้าไปแทนที่ก๊าซที่อยู่ในรูของเมมเบรน
- Liquid – Liquid Interface(ผิวสัมผัสระหว่าง ของเหลว กับ ก๊าซ)



รูปที่ 2.14 แสดงความแตกต่างของ a) Bubble Point Method กับ b) Liquid Displacement Method

จากที่ 2.14a ความสัมพันธ์ระหว่างความตันกับขนาดของรูแสดงโดย Cantor Equation

$$r_{(\Delta P)} = -\frac{2\gamma_L \cos \theta}{\Delta P} \quad (2.22)$$

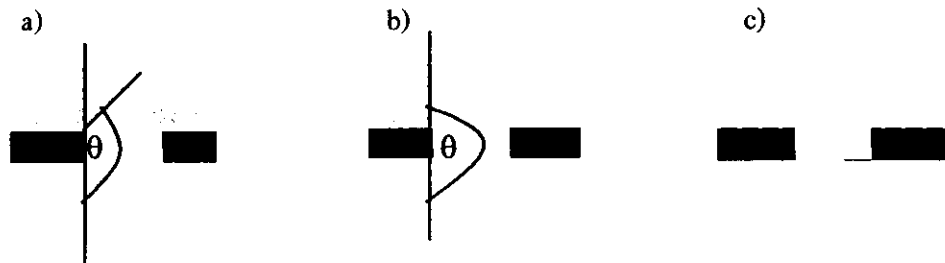
$r_{(\Delta P)}$  ศูนย์รัศมีของรู

$\gamma_L$  ศูนย์สัมประสิทธิ์ความตึงผิวของของเหลว

$\theta$  ศูนย์นูนสัมผัสระหว่างของเหลว กับ เมมเบรน

$\Delta P$  ศูนย์ความตัน

มุนสัมผัสระหว่างของเหลวกับแม่เบรนที่ความดันต่างๆ มีค่าไม่เท่ากันดังรูปที่ 2.15



$$r_{(\Delta P_1)} = -\frac{2\gamma_L \cos \theta}{\Delta P} \quad r_{(\Delta P_2)} = \frac{2\gamma_L}{\Delta P} \quad \Delta P \geq \Delta P_2$$

รูปที่ 2.15 แสดงมุนสัมผัสระหว่างของเหลวกับแม่เบรนที่ความดันต่างๆ

ที่มา : Piatkiewicz.W และคณะ (1997 : 92)